

5.3 Lineare Antwort / Absorptionspektra

In einem Medium ist Dynamik des ein-⁻Feldes durch makroskopischen Maxwell-GL. gegeben:

$$\nabla \vec{E} - \frac{1}{c^2 \epsilon_0} \partial_t^2 \vec{E} = \underbrace{\frac{1}{\epsilon_0} \nabla S_m + \mu_0 \partial_t \vec{j}_m}_{S_m = \vec{j}_m = 0 \text{, keine geladenen Körper}} + \underbrace{\mu_0 \partial_t^2 \vec{P} + \mu_0 \partial_t (\nabla \times \vec{H})}_{\partial_t^2 \vec{P} \gg \partial_t (\nabla \times \vec{H}) \text{ für ebene Wellen (da } \nabla \cdot \vec{E} = 0\text{)}} - \underbrace{\frac{1}{\epsilon} \nabla (\nabla \cdot \vec{P})}_{= 0}$$

- makroskop. Polarisations \vec{P} :

Dipoldichte des Mediums nach Anregung durch ein externes \vec{E} -Feld

- lineare Antwort: $\vec{P}(\vec{r}, \omega) = \epsilon_0 \chi(\omega) \vec{E}(\vec{r}, \omega)$ Schwing:
gilt nur so im Freq. Raum

$$\vec{j}(\vec{r}, \omega) = \sigma(\omega) \vec{E}(\vec{r}, \omega)$$

Das \vec{E} -Feld tritt nur in 1. Ordnung (linear) als Antwort des Materials (\vec{P}) auf ext. Feld (\vec{E}) auf.

- lineare Antwortfkt. / Suszeptibilität: $\chi(\omega)$

$$\vec{j}(\vec{r}, \omega) = \sigma(\omega) \vec{E}(\vec{r}, \omega) = -i\omega \vec{P} = \underbrace{-i\omega \epsilon_0 \chi(\omega)}_{\text{in }} \vec{E}$$

σ - Leitfähigkeit durch $\chi(\omega)$ ausgedrückt

→ es reicht eine Theorie für $\chi(\omega)$ aufzustellen, um Informationen über \vec{P} und \vec{j} zu erhalten

$$\nabla \vec{E}(\vec{r}, t) - \frac{1}{c^2} \partial_t^2 \vec{E}(\vec{r}, t) = \mu_0 \partial_t^2 \vec{P}(\vec{r}, t)$$

→ Übergang in freq. raum: Fouriertransfo $\frac{1}{c} = \mu_0 \epsilon_0$

$$\begin{aligned} \nabla \vec{E}(\vec{r}, \omega) - \frac{\omega^2}{c^2} \vec{E}(\vec{r}, \omega) &= -\mu_0 \omega^2 \vec{P}(\vec{r}, \omega) \\ &= -\mu_0 \omega^2 \epsilon_0 \chi(\omega) \vec{E}(\vec{r}, \omega) \end{aligned}$$

$$\nabla \vec{E}(\vec{r}, \omega) + \frac{\omega^2}{c^2} (1 + \chi(\omega)) \vec{E}(\vec{r}, \omega) = 0$$

→ für ebene Wellen führt das zu einer komplexen Wellenzahl:

$$k(\omega) = \frac{\omega}{c} \sqrt{1 + \chi(\omega)} = \frac{\omega}{c} \left(\underbrace{n(\omega)}_{\text{Brechungsindex}} + i \underbrace{\text{Im } \chi(\omega)} \right)$$

Brechungsindex

- bestimmen von $\text{Re } \chi$ (nur von $\chi(\omega)$):

$$\chi(\omega) = (n^2 + 2i n \text{Im } \chi - \chi^2) - 1$$

$$\Rightarrow \text{Re } [\chi] = n^2 - \chi^2 - 1, \quad \text{Im } [\chi] = 2n \chi \Leftrightarrow \chi = \frac{\text{Im } \chi}{2n}$$

- ebene Wellen: $\vec{E}(z, t) = E_0 \exp[i(kz - \omega t)]$

$$= E_0 \exp \left[i \left(\frac{\omega}{c} n z - \omega t \right) - \frac{\omega}{c} \chi z \right]$$

- Beer-Lambert's Gesetz : $I(z) = |\vec{E}(z, t)|^2 = I_0 e^{-\alpha(\omega)z}$
 (Abfall der Intensität bei Durchgang durch Medium)
 - Absorptionskoeff.: $\alpha(\omega) = 2 \frac{\omega}{c} \Im(\kappa(\omega)) = 2 \frac{\omega}{c} \frac{\ln[\chi_{K\omega}]}{2 \mu(\omega)}$
- $$\Rightarrow \boxed{\alpha(\omega) = \frac{\omega}{n(\omega) c \epsilon_0} \ln \left[\frac{P(\omega)}{E(\omega)} \right]}$$

→ ist im Wesentlichen durch Dipoldichte \vec{P} bestimmt.

→ ist mit QM verknüpft: $\vec{P}(t) = n_0 \sum_{ij} \vec{d}_{ij} \underbrace{\langle a_i^* a_j \rangle}_{p_{ij}}(t)$

Anzahl-
 dichte der
 Dipole ↗
 ↓ p_{ij}
 Lokalisierte
 Atom-Niveaus

- Bewegungsgl. für p_{ij} : mit $f_i = \langle a_i^* a_i \rangle$ Besetzung

$$\partial_t p_{ij} = i \omega_{ij} p_{ij} - i (\underbrace{\Omega_{ji}^* f_j - \Omega_{ij} f_i}_{\text{Rabi-Frequenz}}) - \gamma p_{ij}$$

Rabi-Frequenz $\Omega_{K\omega} = \frac{\Omega_{K\omega} \cdot \vec{E}}{\hbar}$

→ lineare Optik: $P \sim \vec{E}$, keine höheren Potenzen von \vec{E}
 Anregung soll so schwach sein, dass die f_i nicht vom Feld abhängen.

- formelles Lösen von p_{ij} im Freq.raum:

$$P_{ij}(\omega) = \frac{\omega_j^+ f_j - \omega_{ij}^- f_i}{(\omega + \omega_{ij}^- + i\gamma)} = \frac{d_{ji}^- \vec{E}}{t_i} \frac{(\epsilon_j - \epsilon_i)}{(\omega + \omega_{ij}^- + i\gamma)}$$

- makro. Polarisierung:

$$\vec{P}(\omega) = \mu_0 \sum_{ij} \vec{d}_{ij} \left[\frac{\vec{d}_{ji} \cdot \vec{E}}{t_i} \frac{\epsilon_j - \epsilon_i}{(\omega + \omega_{ij}^- + i\gamma)} \right] \stackrel{!}{=} \epsilon_0 \chi(\omega) \vec{E}(\omega)$$

- Koeffizientenvergleich:

$$\chi(\omega) = \frac{\mu_0}{t_i \epsilon_0} \sum_{ij} |d_{ij}|^2 \frac{(\epsilon_j - \epsilon_i)}{\omega + (\omega_i - \omega_j) + i\gamma}$$

- Bemerkungen:

(a) Suszeptibilität eines Mehrniveausystems $\{|i\rangle\}$

(b) Summe läuft über alle besetzten Zustände, $f_i = 0$ wenn unbewohnt

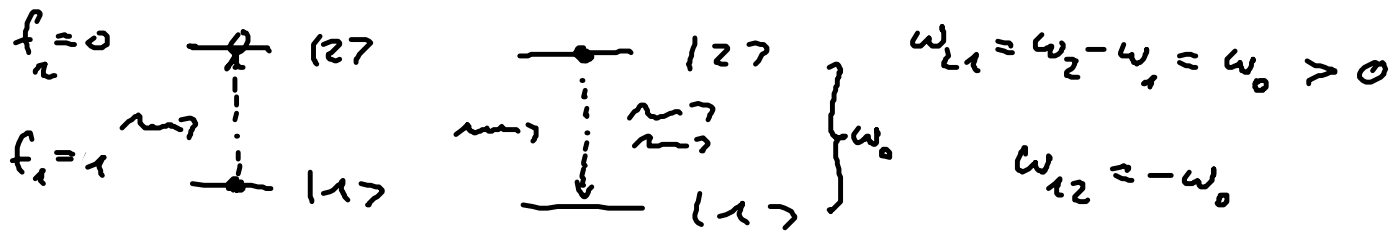
(c) Vektorcharakter vernachlässigt

(eigentl.: $\vec{P} \sim \underline{\underline{\chi}} \cdot \vec{E}$)

(d) einfaches Bsp.: Zwei-Niveau System

$$\chi(\omega) = \frac{\mu_0}{t_i \epsilon_0} \left(\frac{|d_{21}|^2 (\epsilon_2 - \epsilon_1)}{(\omega + \omega_{21}) + i\gamma} + \frac{|d_{12}|^2 (\epsilon_2 - \epsilon_1)}{(\omega + \omega_{12}) + i\gamma} \right)$$

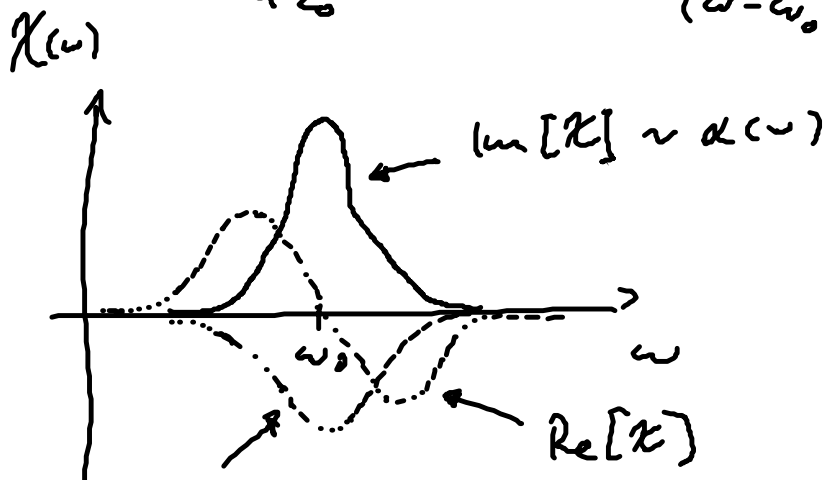
→ Unterschied zum Oszillatormodell ist Term $(f_i - f_j)$
 ≈ Unterschied der Besetzungswahrscheinlichkeit.



$$\chi(\omega) = \frac{u_0 (d_{12})^2}{4 \pi \epsilon_0} \underbrace{(f_1 - f_2)}_{\text{quer Vorfaktor}} \left[\frac{-i\gamma + (\omega + \omega_0)}{(\omega + \omega_0)^2 + \gamma^2} - \frac{-i\gamma + (\omega - \omega_0)}{(\omega - \omega_0)^2 + \gamma^2} \right]$$

nicht resonant, Resonanz
weglassen

$$= \frac{u_0 (d_{12})^2}{4 \pi \epsilon_0} (f_1 - f_2) \frac{i\gamma - (\omega - \omega_0)}{(\omega - \omega_0)^2 + \gamma^2}$$



für $f_2 > f_1$ findet man Übergang von Absorption zu Verstärkung (gain)

- Absorption folgt Lorentzlinie mit Breite γ (wird durch Verluste bestimmt: Dipolenergie → Umgebung)

5.4 Dipolmomentelemente und Auswahlregeln

für opt. Absorption Wasserstoff-ähnlicher Atome

- H-Atom ähnlidh.: 1 Kupplerelement

$$\vec{d}_{ij} = \int d^3r \varphi_{n_i l_i m_i}^*(\vec{r}) q \vec{r} \varphi_{n_j l_j m_j}(\vec{r}) \delta_{s_i, s_j}$$

Spin-diagon.- [D.L. Auswahlregel]

$\begin{smallmatrix} z \\ \perp \\ z \end{smallmatrix}$ $\begin{smallmatrix} \text{Pulsung} \\ \text{Pulsung} \end{smallmatrix}$

mit WT:

$$\varphi_{n_i l_i m_i}(\vec{r}) = N_i R_{n_i l_i}(\vec{r}) P_{l_i}^{m_i}(\cos \theta) e^{im_i \varphi}$$

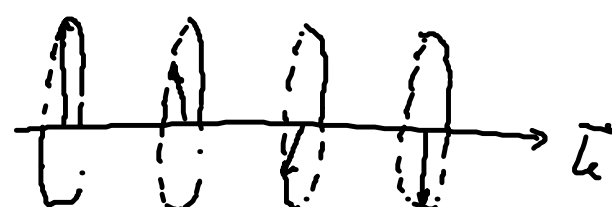
- Wechselwirkung: $\vec{d}_{iz} \vec{E} = \vec{d}_{iz} \cdot \vec{e}_E E(\omega)$

$$|\vec{d}_{iz}|^2 = |\vec{d}_{iz} \cdot \vec{e}_E|^2$$

Vektor des \vec{E} -Feldes hat typ.weise 3 mögl. Orientierungen bzgl. des Atoms:

(1) linear polarisiert (2, 3) links/rechts zirkular pol.

$$\vec{E} = E_z \vec{e}_z$$



$$\vec{E} = E_{\pm} \vec{e}_{\pm}$$

Jedes Feld kann nach $\vec{e}_z, \vec{e}_{\pm} = \frac{1}{\sqrt{2}}(\vec{e}_x \mp i\vec{e}_y)$ zerlegt werden.
 $\{\vec{e}_i\} i \in \{z, +, -\}$ sind Basis : $\langle i | j \rangle = \delta_{ij}$

\rightarrow wir können auch unseren Ortsvektor \vec{r} nach $\{\vec{e}_i\}$ zerlegen

$$\begin{aligned}\vec{r} &= x \vec{e}_x + y \vec{e}_y + z \vec{e}_z \\ &\downarrow \\ a_+ \vec{e}_+ &+ a_- \vec{e}_- + z \vec{e}_z \\ \underbrace{\frac{1}{\sqrt{2}}(x+iy)}_{\vec{e}_+^* \cdot \vec{r}} \vec{e}_+ &+ \underbrace{\frac{1}{\sqrt{2}}(x-iy)}_{\vec{e}_-^* \cdot \vec{r}} \vec{e}_- + z \vec{e}_z \\ &\quad \text{w}\end{aligned}$$

Für Dipolmoment \vec{d} und \vec{E} nach $\{\vec{e}_i\}$ zerlegen :

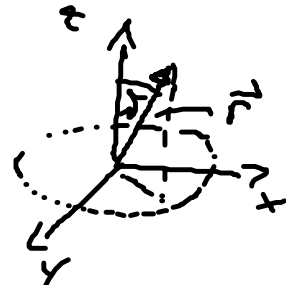
$$\vec{d}_{12} \cdot \vec{E} = q \int d^3r \varphi_1^*(\vec{r}) \frac{1}{\sqrt{2}}(x+iy) \varphi_2(\vec{r}) E_+ \quad \text{rechts zirk.}$$

$$+ q \int d^3r \varphi_1^*(\vec{r}) \frac{1}{\sqrt{2}}(x-iy) \varphi_2(\vec{r}) E_- \quad \text{links zirk.}$$

$$+ q \int d^3r \varphi_1^*(\vec{r}) z \varphi_2(\vec{r}) E_z \quad \text{linear.}$$

Die Regeln wann $d_{ij} \neq 0$ ist, werden Auswahlregel genannt.

- allgern. Auswahlregeln:

$$\left\{ \begin{array}{l} dz \\ d\pm \end{array} \right\} \text{ linear} = \left\{ \begin{array}{l} z \\ \frac{1}{r^2}(x \pm iy) \end{array} \right\} = \left\{ \begin{array}{l} \langle \hat{z} \cos \theta \rangle \\ \langle \hat{z} \sin \theta \rangle e^{\pm i\phi} \end{array} \right\}$$


$$= N_1 N_2 \cdot \int_0^\infty dr r^2 R_{u_1 l_1}^*(r) R_{u_2 l_2} \left\{ \begin{array}{l} r \\ r \end{array} \right\} \quad (a)$$

$$\int_0^{2\pi} d\varphi e^{-i(u_1 - u_2)\varphi} \left\{ \begin{array}{l} 1 \\ e^{\pm i\phi} \end{array} \right\} \quad (b)$$

$$\int_0^\pi d\theta \sin \theta P_{l_1}^{u_1}(\cos \theta) P_{l_2}^{u_2}(\cos \theta) \left\{ \begin{array}{l} \cos \theta \\ \sin \theta \end{array} \right\} \quad (c)$$

- die 3 Integrale getrennt diskutieren:

(a) r -Integral liefert: keine Einschränkung, ist $\neq 0$

für alle Kombinationen von u_1, u_2 (ohne Beweis)

\Rightarrow "Keine Auswahlregel bei opt. Dipolübergängen bzgl. der Hauptquantenzahl"

(b) φ -Integral liefert:

$$d_z \sim \int_0^{2\pi} d\varphi e^{\frac{i}{\hbar}(m_2 - m_1)\varphi} = \frac{e^{\frac{i}{\hbar}(m_2 - m_1)\varphi}}{\frac{i}{\hbar}(m_2 - m_1)} \left. \right|_{\begin{array}{l} m_1 + m_2 = 0 \\ m_1 = m_2 = 1 \end{array}} = \delta_{m_1, m_2}$$
$$d_{\pm} \sim \int_0^{2\pi} d\varphi e^{\frac{i}{\hbar}(m_2 - m_1 \mp 1)\varphi} = \delta_{m_1 \mp 1, m_2}$$

1. Auswahlregel: $\Delta m = 0, \pm 1$

Für elektro. Dipolübergang und linear pol. Feld muss $m_1 = m_2$ sein, also keine Fluktuation der Magnet QZ vorliegen.

Für zirk. pol. Feld muss $m_1 = m_2 \mp 1$ sein, sich also die Magnet QZ um ± 1 ändern

(c) x -Integral liefert: $x = \cos \theta$

$$d_z \sim \int_{-1}^{+1} dx x P_{l_1}^{m_1}(x) P_{l_2}^{m_2}(x) \neq 0 \quad \text{für } l_1 - l_2 = \pm 1$$

für lin. pol. Feld muss $m_1 = m_2 = m$ sein

d_{\pm} analog für $\Delta m = \pm 1$

2. Auswahlregel $\Delta l = \pm 1$

Bei elektr. Dipolübergängen muß sich die Bahndrehimpuls QZ um ± 1 ändern

Bemerkung:

- (1) Auswahlregel 2 kann als Drehimpulserhaltungssatz bei Emission/Absorption eines Photons interpretiert werden. Der Photonendrehimpuls $l=1$ muß von Elektronen aufgenommen werden od. abgegeben werden. Analoges gilt für die Änderung von m_l .
- (2) AWR bestimmen die erlaubten opt. Übergänge und damit die beobachtbaren Linie des H-Atom Spektrums, die sogen. Serien:

$$s(l=0) \quad p(l=1) \quad d(l=2)$$



$$\text{"Lyman" Serie: } \Delta E = \left(1 - \frac{1}{n^2}\right) E_{\text{Ryd}}$$

"Balmer" Serie startet von $n=2$, spektral gut gebraucht

(3) Falls el. Dipolmomente $d_{ij} = 0$ sind, so sind die quadrat. Terme die mag. Dipolmomente und el. Quadrupolmomente entscheidend:

$\Delta l = 0, \pm 2$ mgl. (um Faktor 10^5 schwächer als el. Dipol)

(4) Mit Spin-Bahn-Kopplung ergibt sich für el. Dipol-Übergang beim H-Atomm:

$$\Delta l = \pm 1; \Delta m_s = 0, \pm 1; \Delta m_j = 0$$

(5) Die diagonal Elemente verschwinden immer:

$$d_{ii} \stackrel{!}{=} 0$$